

# Interações fracas

## Física de Partículas Elementares - I

Prof. Marcelo A. Leigui de Oliveira

Centro de Ciências Naturais e Humanas  
Universidade Federal do ABC  
Av. dos Estados, 5001  
09210-580 Santo André-SP

20 de abril de 2023



Universidade Federal do ABC

# Interações fracas leptônicas carregadas

- Vamos formular as regras de Feynman para os acoplamentos de léptons aos bósons  $W^\pm$  e tratar problemas como o decaimento  $\beta$ , o  $n$  e os  $\pi^\pm$ . Depois, os acoplamentos do  $W^\pm$  com os quarks que levam ao ângulo de Cabibo, o mecanismo GIM e a matriz de Kobayashi-Maskawa. Finalmente, as regras do acoplamento de quarks e léptons ao bóson  $Z^0$  da teoria eletrofraca de Glashow-Weinbeg-Salam;
- Os mediadores da interação fraca são os bósons  $W^\pm$  e  $Z^0$  que, ao contrário dos fótons e glúons, têm (muita!) massa:

$$M_W = 82 \pm 2 \text{ GeV}/c^2, \quad M_Z = 92 \pm 2 \text{ GeV}/c^2;$$

- Partículas massivas de spin 1 tem 3 estados de polarização ( $m_s = 1, 0, -1$ ), enquanto que as sem massa tem 2. Para fótons e glúons, impusemos a condição de Lorenz:

$$\epsilon^\mu p_\mu = 0$$

e o calibre de Coulomb:

$$\epsilon^0 = 0 \Rightarrow \vec{\epsilon} \cdot \vec{p} = 0,$$

mas, para os bósons vetoriais, a condição de Lorenz sozinha elimina a liberdade do calibre;

# Interações fracas leptônicas carregadas

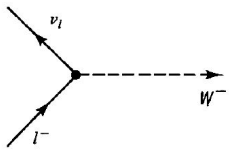
- Ademais, o propagador para partículas massivas de spin 1 é:

$$\frac{-i(g_{\mu\nu} - q_\mu q_\nu / M^2 c^2)}{q^2 - M^2 c^2},$$

onde  $M = M_W$  ou  $M = M_Z$ . Na maioria dos casos (em que  $q^2 \ll (Mc)^2$ ), o propagador pode ser aproximado para:

$$\frac{i g_{\mu\nu}}{(Mc)^2} \quad (q^2 \ll (Mc)^2);$$

- Consideremos, inicialmente, as interações fracas carregadas (mediada pelos  $W^\pm$ ) com acoplamento com léptons. O vértice fundamental é:



onde um lépton é convertido no neutrino associado com a emissão de um  $W^-$  (ou absorção de um  $W^+$ ). O processo reverso:

$$\nu_l \rightarrow l^- + W^+$$

também é possível, bem como a reação “cruzada” com antiléptons.

# Interações fracas leptônicas carregadas

- As regras de Feynman são as mesmas, exceto pelo fator de vértice:

$$\frac{-ig_w}{2\sqrt{2}}\gamma^\mu(1 - \gamma^5) \quad (\text{fator de vértice fraco}),$$

onde  $g_w = \sqrt{4\pi\alpha_w}$  é a “*constante de acoplamento fraca*”.

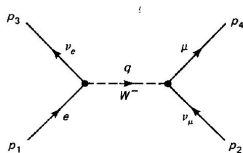
- ▶ Note que o fator  $\gamma^\mu(1 - \gamma^5) = \gamma^\mu - \gamma^\mu\gamma^5$  é a soma de um *vetor* com um *vetor axial*. Esta combinação *viola* a conservação da paridade, conforme o esperado para as interações fracas;

# Interações fracas leptônicas carregadas - Exemplos

## 1 Decaimento inverso do múon

Considere o processo:

$$\nu_\mu + e^- \rightarrow \mu^- + \nu_e,$$



onde um lépton é convertido no associado ao neutrino (representado na mais baixa ordem pelo diagrama acima). Aqui  $q = p_1 - p_3$  e  $q^2 \ll M_W^2 c^2$ , portanto, vamos usar o propagador simplificado. A amplitude fica:

$$\mathcal{M} = \frac{g_w^2}{8(M_W c)^2} [\bar{u}(3)\gamma^\mu(1-\gamma^5)u(1)][\bar{u}(4)\gamma_\mu(1-\gamma^5)u(2)].$$

Aplicando-se o truque de Casimir:

$$\sum_{\text{spins}} |\mathcal{M}|^2 = \left( \frac{g_w^2}{8(M_W c)^2} \right)^2 \text{Tr}[\gamma^\mu(1-\gamma^5)(\not{p}_1 + m_e c)\gamma^\nu(1-\gamma^5)\not{p}_3] \times \text{Tr}[\gamma_\mu(1-\gamma^5)\not{p}_2\gamma_\nu(1-\gamma^5)(\not{p}_4 + m_\mu c)],$$

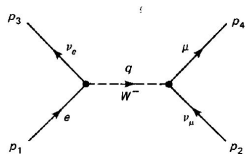
que, pelos teoremas dos traços:

$$\begin{aligned} \sum_{\text{spins}} |\mathcal{M}|^2 &= \left( \frac{g_w^2}{8(M_W c)^2} \right)^2 8[p_1^\mu p_3^\nu + p_1^\nu p_3^\mu - g^{\mu\nu}(p_1 \cdot p_3) - i\epsilon^{\mu\nu\lambda\sigma} p_{1\lambda} p_{3\sigma}] \times \\ &\quad \times 8[p_{2\mu} p_{4\nu} + p_{2\nu} p_{4\mu} - g_{\mu\nu}(p_2 \cdot p_4) - i\epsilon_{\mu\nu\kappa\gamma} p_2^\kappa p_4^\gamma]. \end{aligned}$$

# Interações fracas leptônicas carregadas - Exemplos

## 1 Decaimento inverso do múon

$$\nu_\mu + e^- \rightarrow \mu^- + \nu_e$$



Assim:

$$\sum_{\text{spins}} |\mathcal{M}|^2 = 4 \left( \frac{g_w}{M_w c} \right)^4 (p_1 \cdot p_2)(p_3 \cdot p_4).$$

Agora, tomando-se a média (o elétron tem 2 estados de spin e o neutrino somente 1):

$$\langle |\mathcal{M}|^2 \rangle = 2 \left( \frac{g_w}{M_w c} \right)^4 (p_1 \cdot p_2)(p_3 \cdot p_4).$$

Substituindo-se os quadrimomentos no CM:

$$\langle |\mathcal{M}|^2 \rangle = 8 \left( \frac{g_w E}{M_w c^2} \right)^4 \left\{ 1 - \left( \frac{m_\mu c^2}{2E} \right)^2 \right\}^2,$$

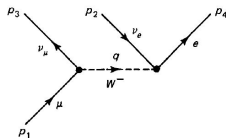
onde  $E$  é a energia do elétron incidente. E as seções de choque diferencial e total são, respectivamente:

$$\frac{d\sigma}{d\Omega} = \frac{1}{2} \left( \frac{\hbar c g_w^2 E}{4\pi (M_w c^2)^2} \right)^2 \left\{ 1 - \left( \frac{m_\mu c^2}{2E} \right)^2 \right\}^2 \Rightarrow \sigma = \frac{1}{8\pi} \left[ \left( \frac{g_w}{M_w c^2} \right)^2 \hbar c E \right]^2 \left\{ 1 - \left( \frac{m_\mu c^2}{2E} \right)^2 \right\}^2$$

# Decaimento do múon

- O decaimento do múon:

$$\mu \rightarrow e + \nu_\mu + \bar{\nu}_e$$



é o processo fraco mais fácil de ser estudado experimentalmente, cuja amplitude é:

$$\mathcal{M} = \frac{g_w^2}{8(M_w c)^2} [\bar{u}(3)\gamma^\mu(1 - \gamma^5)u(1)][\bar{u}(4)\gamma_\mu(1 - \gamma^5)u(2)]$$

De onde:

$$\langle |\mathcal{M}|^2 \rangle = 2 \left( \frac{g_w}{M_w c} \right)^4 (p_1 \cdot p_2)(p_3 \cdot p_4).$$

No referencial de repouso do múon,  $p_1 = (m_\mu c, \vec{0})$ , então:

$$p_1 \cdot p_2 = m_\mu E_2$$

e, como  $p_1 - p_2 = p_3 + p_4$ :

$$(p_1 - p_2)^2 = p_1^2 + p_2^2 - 2p_1 \cdot p_2 = m_\mu^2 c^2 - 2p_1 \cdot p_2,$$

$$(p_3 + p_4)^2 = p_3^2 + p_4^2 + 2p_3 \cdot p_4 = m_e^2 c^2 + 2p_3 \cdot p_4,$$

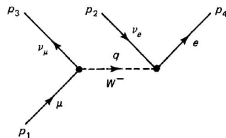
vem:

$$\Rightarrow p_3 \cdot p_4 = \frac{(m_\mu^2 - m_e^2)c^2}{2} - m_\mu E_2.$$

## Decaimento do múon

- O decaimento do múon:

$$\mu \rightarrow e + \nu_\mu + \bar{\nu}_e$$



Para simplificar, faremos  $m_e = 0$ :

$$\langle |\mathcal{M}|^2 \rangle = \left( \frac{g_w}{M_w c} \right)^4 m_\mu^2 E_2 (m_\mu c^2 - 2E_2).$$

E a taxa de decaimento, pela regra de ouro, dá:

$$d\Gamma = \frac{\langle |\mathcal{M}|^2 \rangle}{2\hbar m_\mu} \left( \frac{c d^3 \vec{p}_2}{(2\pi)^3 2E_2} \right) \left( \frac{c d^3 \vec{p}_3}{(2\pi)^3 2E_3} \right) \left( \frac{c d^3 \vec{p}_4}{(2\pi)^3 2E_4} \right) (2\pi)^4 \delta^4(p_1 - p_2 - p_3 - p_4),$$

onde  $E_2 = |\vec{p}_2|c$ ,  $E_3 = |\vec{p}_3|c$  e  $E_4 = |\vec{p}_4|c$ . Abrindo a função delta:

$$\delta^4(p_1 - p_2 - p_3 - p_4) = \delta\left(m_\mu c - \frac{E_2}{c} - \frac{E_3}{c} - \frac{E_4}{c}\right) \delta^3(\vec{p}_2 + \vec{p}_3 + \vec{p}_4)$$

e integrando em  $\vec{p}_3$ :

$$d\Gamma = \frac{\langle |\mathcal{M}|^2 \rangle c^3}{16(2\pi)^5 \hbar m_\mu} \left( \frac{d^3 \vec{p}_2 d^3 \vec{p}_4}{E_2 E_3 E_4} \right) \delta\left(m_\mu c - \frac{E_2}{c} - \frac{E_3}{c} - \frac{E_4}{c}\right),$$

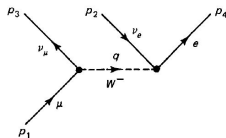
onde  $E_3 = |\vec{p}_2 + \vec{p}_4|c$ .



# Decaimento do múon

- O decaimento do múon:

$$\mu \rightarrow e + \nu_\mu + \bar{\nu}_e$$



Agora, para integrar em  $\vec{p}_2$ , alinhamos o eixo polar ao longo de  $\vec{p}_4$  (a direção do elétron):

$$\left(\frac{E_3}{c}\right)^2 = |\vec{p}_2 + \vec{p}_4|^2 = |\vec{p}_2|^2 + |\vec{p}_4|^2 + 2\vec{p}_2 \cdot \vec{p}_4 = \frac{1}{c^2}(E_2^2 + E_4^2 + 2E_2E_4 \cos \theta),$$

e, sabendo que:

$$d^3\vec{p}_2 = \left(\frac{E_2}{c}\right)^2 \frac{dE_2}{c} \sin \theta d\theta d\phi = 2\pi \left(\frac{E_2}{c}\right)^2 \frac{dE_2}{c} \sin \theta d\theta,$$

vem, a integração em  $\theta$ , definindo-se:

$$x \equiv \frac{1}{c} \sqrt{E_2^2 + E_4^2 + 2E_2E_4 \cos \theta} = \frac{E_3}{c} \Rightarrow dx = -\frac{E_2E_4 \sin \theta d\theta}{cE_3} \Rightarrow$$

$$\int_0^\pi \frac{\sin \theta d\theta}{E_3} \delta\left(m_\mu c - \frac{E_2}{c} - \frac{E_3}{c} - \frac{E_4}{c}\right) = \frac{c}{E_2E_4} \int_{x_-}^{x_+} \delta\left(m_\mu c - x - \frac{E_2}{c} - \frac{E_4}{c}\right) dx,$$

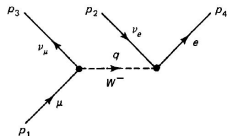
onde:

$$x_\pm \equiv \frac{1}{c} \sqrt{E_2^2 + E_4^2 \pm 2E_2E_4} = \frac{1}{c} |E_2 \pm E_4|.$$

# Decaimento do múon

- O decaimento do múon:

$$\mu \rightarrow e + \nu_\mu + \bar{\nu}_e$$



Assim, a integral fica:

$$\frac{c}{E_2 E_4} \int_{x_-}^{x_+} \delta \left( m_\mu c - x - \frac{E_2}{c} - \frac{E_4}{c} \right) dx = \begin{cases} \frac{c}{E_2 E_4}, & \text{se } x_- < \left( m_\mu c - \frac{E_2}{c} - \frac{E_4}{c} \right) < x_+ \\ 0, & \text{caso contrário,} \end{cases}$$

onde:

$$x_\pm \equiv \frac{1}{c} \sqrt{E_2^2 + E_4^2 \pm 2E_2 E_4} = \frac{1}{c} |E_2 \pm E_4|.$$

Reescrevendo a desigualdade:

$$\frac{1}{c} |E_2 - E_4| < \left( m_\mu c - \frac{E_2}{c} - \frac{E_4}{c} \right) < \frac{1}{c} |E_2 + E_4| \Rightarrow$$

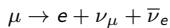
$$|E_2 - E_4| < (m_\mu c^2 - E_2 - E_4) < E_2 + E_4 \Rightarrow$$

$$|E_2 - E_4| + (E_2 + E_4) < m_\mu c^2 < 2(E_2 + E_4) \Rightarrow$$

$$\frac{1}{2} \{ |E_2 - E_4| + E_2 + E_4 \} < \frac{1}{2} m_\mu c^2 < E_2 + E_4.$$

# Decaimento do múon

- O decaimento do múon:



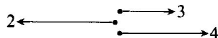
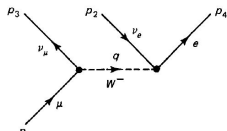
Agora, note que:

$$E_2, E_4 < \frac{1}{2} \{|E_2 - E_4| + E_2 + E_4\} < \frac{1}{2} m_\mu c^2 < E_2 + E_4,$$

ou seja, temos, na verdade, 3 desigualdades:

$$\left\{ \begin{array}{l} E_2 < \frac{1}{2} m_\mu c^2 \\ E_4 < \frac{1}{2} m_\mu c^2 \\ (E_2 + E_4) > \frac{1}{2} m_\mu c^2. \end{array} \right.$$

Cinematicamente, se as partículas 3 e 4 saem diametralmente opostas à 2, esta obtém a maior parcela de energia, que é a metade da disponível. Se 3 e 4 tiverem um ângulo entre elas, a partícula 2 terá menos energia.



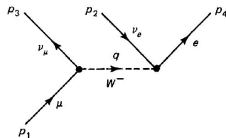
- Ou seja,  $\frac{1}{2} m_\mu c^2$  é a máxima energia *individual* para qualquer das partículas.

Conclusão:  $\frac{1}{2} m_\mu c^2 - E_4 < E_2 < \frac{1}{2} m_\mu c^2$  e  $0 < E_4 < \frac{1}{2} m_\mu c^2$ .

# Decaimento do múon

- O decaimento do múon:

$$\mu \rightarrow e + \nu_\mu + \bar{\nu}_e$$



Substituindo tudo na integral original, vem:

$$\begin{aligned} d\Gamma &= \frac{\langle |\mathcal{M}|^2 \rangle c^3}{16(2\pi)^5 \hbar m_\mu} \left( \frac{d^3 \vec{p}_4}{E_4} \right) \left( \frac{d^3 \vec{p}_2}{E_2} \right) \delta \left( m_\mu c - \frac{E_2}{c} - \frac{E_3}{c} - \frac{E_4}{c} \right) = \\ &= \frac{\langle |\mathcal{M}|^2 \rangle}{2^4 (2\pi)^4 \hbar m_\mu} \left( \frac{d^3 \vec{p}_4}{E_4} \right) \frac{1}{E_2} (2\pi) \left( \frac{E_2}{c} \right)^2 \frac{dE_2}{c} \left( \frac{c}{E_2 E_4} \right) \Rightarrow \\ d\Gamma &= \frac{\langle |\mathcal{M}|^2 \rangle c}{(4\pi)^4 \hbar m_\mu} dE_2 \frac{d^3 \vec{p}_4}{E_4^2} \end{aligned}$$

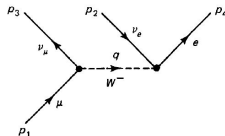
Substituindo a expressão da amplitude e integrando em  $E_2$ :

$$\begin{aligned} d\Gamma &= \left( \frac{g_w}{4\pi M_w c} \right)^4 \frac{m_\mu c}{\hbar} \frac{d^3 \vec{p}_4}{E_4^2} \int_{m_\mu c^2/2 - E_4}^{m_\mu c^2/2} E_2 (m_\mu c^2 - 2E_2) dE_2 = \\ &= \left( \frac{g_w}{4\pi M_w c} \right)^4 \frac{m_\mu c}{\hbar} \left( \frac{m_\mu c^2}{2} - \frac{2}{3} E_4 \right) d^3 \vec{p}_4 \end{aligned}$$

# Decaimento do múon

- O decaimento do múon:

$$\mu \rightarrow e + \nu_{\mu} + \bar{\nu}_e$$



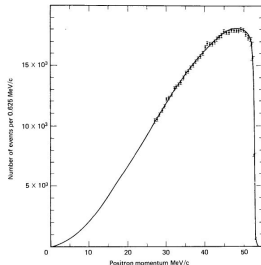
Agora, reescrevendo:

$$d^3\vec{p}_4 = 4\pi \left(\frac{E_4}{c}\right)^2 \frac{dE_4}{c}$$

e redefinindo a energia do elétron,  $E \equiv E_4$ :

$$\frac{d\Gamma}{dE} = \left(\frac{g_w}{M_w c}\right)^4 \frac{m_{\mu}^2 E^2}{2\hbar(4\pi)^3} \left(1 - \frac{4E}{3m_{\mu}c^2}\right),$$

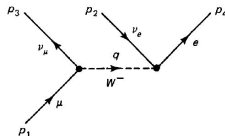
da qual obtemos a distribuição de energia do pósitron:



# Decaimento do múon

- O decaimento do múon:

$$\mu \rightarrow e + \nu_\mu + \bar{\nu}_e$$



Integrando, vem a taxa total de decaimentos:

$$\Gamma = \left( \frac{g_w}{M_w c} \right)^4 \frac{m_\mu^2}{2\hbar(4\pi)^3} \int_0^{m_\mu c^2} E^2 \left( 1 - \frac{4E}{3m_\mu c^2} \right) dE = \left( \frac{m_\mu g_w}{M_w} \right)^4 \frac{m_\mu c^2}{12\hbar(8\pi)^3}$$

e a vida média do múon é:

$$\tau = \frac{1}{\Gamma} = \left( \frac{M_w}{m_\mu g_w} \right)^4 \frac{12\hbar(8\pi)^3}{m_\mu c^2}.$$

Definindo-se, agora, a “constante de acoplamento de Fermi”:

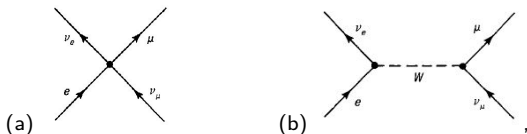
$$G_F = \frac{\sqrt{2}}{8} \left( \frac{g_w}{M_w c^2} \right)^2 (\hbar c)^3,$$

vem que:

$$\tau = \frac{192\pi^3 \hbar^7}{G_F^2 m_\mu^5 c^4}.$$

# Decaimento do múon

- Na teoria original de Fermi, não havia o  $W$  e a interação era supostamente pontual, com o acoplamento de 4 partículas (fig.(a)), mas, na perspectiva moderna (fig.(b)) é:



com uma constante de acoplamento efetiva de 4 partículas,  $G_F$ . Isto só funcionou por causa da grande massa do  $W$ , que permitiu a aproximação do propagador:

$$\frac{-i(g_{\mu\nu} - q_\mu q_\nu / M^2 c^2)}{q^2 - M^2 c^2} \rightarrow \frac{ig_{\mu\nu}}{(Mc)^2} \quad (q^2 \ll (Mc)^2),$$

a qual não é válida para altas energias.

- Pondo-se os valores empíricos do tempo de vida e da massa do múon e recalculando-se:

$$G_F / (\hbar c)^3 = \frac{\sqrt{2}}{8} \left( \frac{g_w}{M_w c^2} \right)^2 = 1,166 \times 10^{-5} / \text{GeV}^2 \Rightarrow g_w = 0,66,$$

então a “constante de estrutura fina fraca” é:

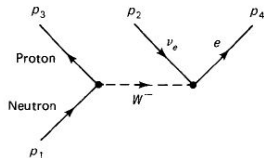
$$\alpha_w = \frac{g_w^2}{4\pi} = \frac{1}{29}.$$

Isto é, um valor  $\sim 5$  vezes maior que  $\alpha = \frac{1}{137}$ !

# Decaimento do nêutron

- Vamos estudar o decaimento do nêutron:

$$n \rightarrow p + e + \bar{\nu}_e$$



Como o nêutron e o próton são compostos, o diagrama acima é uma aproximação (boa para baixas energias). O vértice da esquerda é análogo ao do múon ( $\mu \rightarrow \nu_\mu + W^-$ ), mas com a diferença que o próton (partícula 3) é massivo. Mesmo assim, a amplitude é a mesma (probl. 10.4):

$$\langle |\mathcal{M}|^2 \rangle = 2 \left( \frac{g_w}{M_w c} \right)^4 (p_1 \cdot p_2)(p_3 \cdot p_4).$$

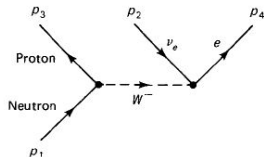
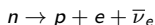
No referencial de repouso do nêutron (neste caso, sem desprezar a massa do elétron.):

$$\langle |\mathcal{M}|^2 \rangle = \left( \frac{g_w}{M_w c} \right)^4 m_n E_2 [(m_n^2 - m_p^2 - m_e^2)c^2 - 2m_n E_2].$$



# Decaimento do nêutron

- O decaimento do nêutron:



A taxa de decaimento, pela regra de ouro, é:

$$d\Gamma = \frac{\langle |\mathcal{M}|^2 \rangle}{2\hbar m_n} \left( \frac{c d^3 \vec{p}_2}{(2\pi)^3 2E_2} \right) \left( \frac{c d^3 \vec{p}_3}{(2\pi)^3 2E_3} \right) \left( \frac{c d^3 \vec{p}_4}{(2\pi)^3 2E_4} \right) (2\pi)^4 \delta^4(p_1 - p_2 - p_3 - p_4),$$

onde  $E_2 = c|\vec{p}_2|$ ,  $E_3 = c\sqrt{\vec{p}_3^2 + m_p^2 c^2}$  e  $E_4 = c\sqrt{\vec{p}_4^2 + m_e^2 c^2}$ .

Integrando em  $\vec{p}_3$ :

$$d\Gamma = \frac{2c^3 \langle |\mathcal{M}|^2 \rangle}{(4\pi)^5 \hbar m_n} \left( \frac{d^3 \vec{p}_2 d^3 \vec{p}_4}{E_2 E_3 E_4} \right) \delta \left( m_n c - \frac{E_2}{c} - \frac{E_3}{c} - \frac{E_4}{c} \right),$$

onde  $E_3 = c\sqrt{(\vec{p}_2 + \vec{p}_4)^2 + m_p^2 c^2}$ .

Fazendo a integral em  $\vec{p}_2$ :

$$d^3 \vec{p}_2 = |\vec{p}_2|^2 d|\vec{p}_2| \sin \theta d\theta d\phi = \frac{1}{c^3} E_2^2 \frac{dE_2}{c} \sin \theta d\theta d\phi,$$

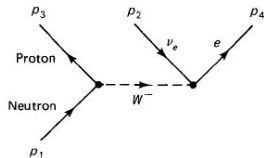
com o eixo z ao longo de  $\vec{p}_4$ . Assim:

$$E_3 = c\sqrt{(|\vec{p}_2|^2 + |\vec{p}_4|^2 + 2|\vec{p}_2||\vec{p}_4| \cos \theta + m_p^2 c^2)} \equiv cx, \quad \frac{E_2 \sin \theta d\theta}{E_3} = -\frac{dx}{|\vec{p}_4|}.$$

# Decaimento do nêutron

- O decaimento do nêutron:

$$n \rightarrow p + e + \bar{\nu}_e$$



E a integral em  $\theta$  e em  $\phi$  dá:

$$d\Gamma = \frac{\langle |\mathcal{M}|^2 \rangle}{(4\pi)^2 \hbar m_n} \frac{dE_2 d^3 \vec{p}_4}{E_4 |\vec{p}_4|} I,$$

onde:

$$I \equiv \int_{x_-}^{x_+} \delta \left( m_n c - \frac{E_2}{c} - \frac{E_4}{c} \right) dx = \begin{cases} 1, & \text{se } x_- < \left( m_n c - \frac{E_2}{c} - \frac{E_4}{c} \right) < x_+ \\ 0, & \text{caso contrário} \end{cases}$$

e os limites são:

$$x_{\pm} = \sqrt{(|\vec{p}_2| \pm |\vec{p}_4|)^2 + m_p^2 c^2}.$$

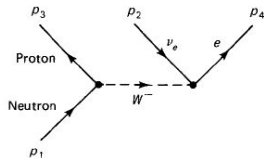
Ou, em termos de limites de energia (probl. 10.5):

$$E_{\pm} = \frac{\frac{1}{2}(m_n^2 - m_p^2 - m_e^2)c^2 - m_n E_4}{m_n - E_4/c^2 \mp |\vec{p}_4|/c}.$$

# Decaimento do nêutron

- O decaimento do nêutron:

$$n \rightarrow p + e + \bar{\nu}_e$$



Assim, a integral em  $E_2$  é:

$$\int_{E_-}^{E_+} E_2 [(m_n^2 - m_p^2 - m_e^2)c^2 - 2m_n E_2] dE_2 \equiv J(E_4)$$

e como:

$$d^3 \vec{p}_4 = 4\pi |\vec{p}_4|^2 d|\vec{p}_4| = \frac{4\pi}{c^2} |\vec{p}_4| E_4 dE_4,$$

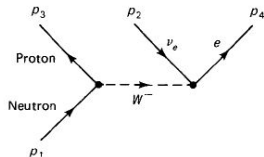
conclui-se que:

$$\frac{d\Gamma}{dE} = \frac{1}{\hbar c^2 (4\pi)^3} \left( \frac{g_w}{M_w c} \right)^4 J(E).$$

# Decaimento do nêutron

- O decaimento do nêutron:

$$n \rightarrow p + e + \bar{\nu}_e$$



A equação:

$$\frac{d\Gamma}{dE} = \frac{1}{\hbar c^2 (4\pi)^3} \left( \frac{g_w}{M_w c} \right)^4 J(E)$$

é exata.

Ela pode ser reduzida à do decaimento do múon:

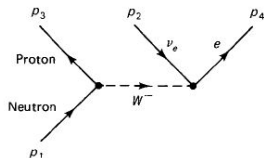
$$\frac{d\Gamma}{dE} = \left( \frac{g_w}{M_w c} \right)^4 \frac{m_\mu^2 E^2}{2\hbar(4\pi)^3} \left( 1 - \frac{4E}{3m_\mu c^2} \right),$$

com  $m_n \rightarrow m_\mu$ ,  $m_p, m_e \rightarrow 0$ , mas vejamos  $J(E)$  ...

# Decaimento do nêutron

- O decaimento do nêutron:

$$n \rightarrow p + e + \bar{\nu}_e$$



$$J(E) = \frac{1}{2}(m_n^2 - m_p^2 - m_e^2)c^2(E_+^2 - E_-^2) - \frac{2m_n}{3}(E_+^3 - E_-^3).$$

Definindo-se:

$$\epsilon \equiv \frac{m_n - m_p}{m_n} = 0,0014, \quad \delta \equiv \frac{m_e}{m_n} = 0,0005,$$

$$\eta \equiv \frac{E_4}{m_n c^2} \quad (\delta < \eta < \epsilon), \quad \phi \equiv \frac{|\vec{p}_4|}{m_n c} \quad (0 < \phi < \eta),$$

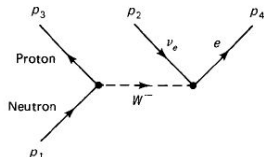
com  $\phi^2 = \eta^2 - \delta^2$ , expande-se em 1ª ordem (probl. 10.5):

$$J(E) \approx 4m_n^4 c^6 \eta \phi (\epsilon - \eta)^2 = \frac{4}{c^2} E \sqrt{E^2 - m_e^2 c^4} [(m_n - m_p)c^2 - E]^2.$$

# Decaimento do nêutron

- O decaimento do nêutron:

$$n \rightarrow p + e + \bar{\nu}_e$$

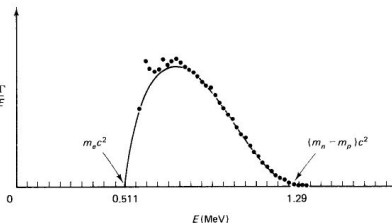


Assim, a distribuição de energias dos elétrons é:

$$\frac{d\Gamma}{dE} = \frac{1}{\pi^3 \hbar} \left( \frac{g_w}{2M_w c^2} \right)^4 E \sqrt{E^2 - m_e^2 c^4} [(m_n - m_p) c^2 - E]^2,$$

que comparada com os dados experimentais:

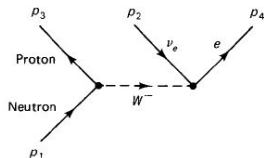
Note os limites:  $m_e c^2 < E < (m_n - m_p) c^2$ .



# Decaimento do nêutron

- O decaimento do nêutron:

$$n \rightarrow p + e + \bar{\nu}_e$$



A distribuição de energias dos elétrons é:

$$\frac{d\Gamma}{dE} = \frac{1}{\pi^3 \hbar} \left( \frac{g_w}{2M_w c^2} \right)^4 E \sqrt{E^2 - m_e^2 c^4} [(m_n - m_p)c^2 - E]^2.$$

Integrando-se em  $E$  (probl. 10.6), vem:

$$\Gamma = \frac{1}{4\pi^3 \hbar} \left( \frac{g_w}{2M_w c^2} \right)^4 (m_e c^2)^5 \left[ \frac{1}{15} (2a^4 - 9a^2 - 8) \sqrt{a^2 - 1} + a \ln(a + \sqrt{a^2 - 1}) \right],$$

onde:

$$a \equiv \frac{m_n - m_p}{m_e}.$$

Substituindo-se os valores numéricos (probl. 10.8):

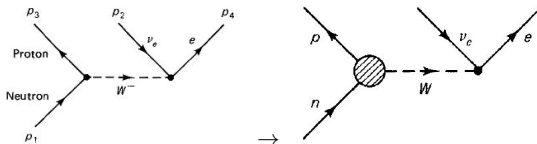
$$\tau = \frac{1}{\Gamma} = 1316 \text{ s.}$$

# Decaimento do nêutron

- O decaimento do nêutron:

$$n \rightarrow p + e + \bar{\nu}_e$$

O valor obtido foi  $\tau = 1316$  s, mas o valor experimental do tempo de vida do nêutron é  $\tau = 898 \pm 16$  s. A razão disso é termos tratado o nêutron e o próton como pontuais (não sabemos como o  $W$  se acopla):



e não termos expressada a amplitude em termos dos fatores de forma. Substituindo-se no vértice  $n \rightarrow p + W$ :

$$(1 - \gamma^5) \rightarrow (c_V - c_A \gamma^5),$$

onde  $c_V$  e  $c_A$  são as correções devidas à “carga fraca” vetorial e axial, respectivamente. Experimentalmente:

$$c_V = 1,000 \pm 0,003, \quad c_A = 1,26 \pm 0,02,$$

onde  $c_V = 1$  é denominada hipótese da “*corrente vetorial conservada (CVC)*” e  $c_A \approx 1$  a hipótese da “*corrente axial parcialmente conservada (PCAC)*”. O fator de correção na taxa de decaimento é dado por:

$$\frac{1}{4}(c_V^2 + 3c_A^2) = 1,44 \Rightarrow \tau = \frac{1316 \text{ s}}{1,44} = 914 \text{ s}.$$

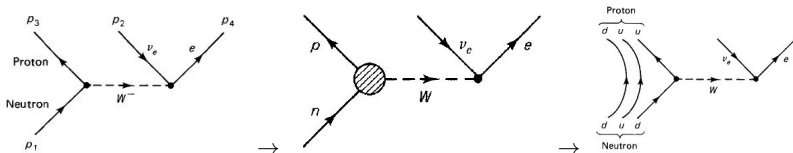


# Decaimento do nêutron

- O decaimento do nêutron:

$$n \rightarrow p + e + \bar{\nu}_e$$

Há ainda uma outra correção, pois o processo em termos dos quarks é  $d \rightarrow u + W$ , com 2 quarks expectadores:



Neste caso, introduz-se no vértice  $d \rightarrow u + W$  o fator  $\cos \theta_C$ , onde:

$$\theta_C = 13,1^\circ$$

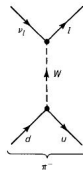
é o ângulo de Cabibo e a correção no tempo de vida do nêutron é:

$$\tau = \frac{914 \text{ s}}{\cos^2 \theta_C} = 963 \text{ s.}$$

# Decaimento do pión

- O decaimento do pión:

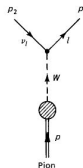
$$\pi^- \rightarrow l^- + \bar{\nu}_l,$$



onde  $l$  é um lépton e  $\bar{\nu}_l$  o seu antineutrino.

- O processo pode ser entendido como um espalhamento em que o estado inicial é de quarks que estão ligados, mas o cálculo é complicado e leva, mais cedo ou mais tarde, a um fator  $|\psi(0)|^2$  desconhecido;
- Então, é melhor seguir este método: redesenha-se o diagrama com uma bolha no vértice entre o  $\pi^-$  e o  $W^-$ . Este acoplamento é *desconhecido*, mas o outro vértice, do acoplamento do lépton  $l$  com o  $W^-$ , é *conhecido*. A amplitude deve ter a forma geral:

$$\mathcal{M} = \frac{g_W^2}{8(M_W c)^2} [\bar{u}(3)\gamma_\mu(1 - \gamma^5)v(2)] F^\mu,$$



onde  $F^\mu$  é um fator de forma descrevendo a bolha  $\pi \rightarrow W$ , que então deve ser um quadrivetor para contrair-se com o fator do lépton  $\gamma_\mu$ . Contudo, o pión tem spin zero e o único quadrivetor associado é o momento  $p^\mu$ , portanto,  $F^\mu$  deve ser um escalar vezes ele:

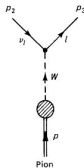
$$F^\mu = f_\pi p^\mu,$$

onde, em princípio,  $f_\pi = f(p^2) = f(m_\pi^2 c^2)$  é a *constante de decaimento do pión*.

# Decaimento do pión

- O decaimento do pión:

$$\pi^- \rightarrow l^- + \bar{\nu}_l$$



- Somando-se sobre os spins da saída:

$$\begin{aligned} \langle |\mathcal{M}|^2 \rangle &= \left[ \frac{f_\pi}{8} \left( \frac{g_w}{M_W c} \right)^2 \right]^2 p_\mu p_\nu \text{Tr}[\gamma^\mu (1 - \gamma^5) \not{p}_2 \gamma^\nu (1 - \gamma^5) (\not{p}_3 + m_l c)] = \\ &= \frac{1}{8} \left[ f_\pi \left( \frac{g_w}{M_W c} \right)^2 \right]^2 [2(p \cdot p_2)(p \cdot p_3) - p^2(p_2 \cdot p_3)], \end{aligned}$$

onde  $p \equiv p_1 = p_2 + p_3$ , de onde:

$$\begin{aligned} p \cdot p_2 &= p_2 \cdot p_3, \quad p \cdot p_3 = m_l^2 c^2 + p_2 \cdot p_3, \\ p^2 &= p_2^2 + p_3^2 + 2p_2 \cdot p_3, \quad 2p_2 \cdot p_3 = (m_\pi^2 - m_l^2) c^2 \Rightarrow \\ \langle |\mathcal{M}|^2 \rangle &= \frac{1}{8} \left( \frac{g_w}{M_W c} \right)^4 f_\pi^2 m_l^2 (m_\pi^2 - m_l^2), \quad \text{ou seja, uma constante.} \end{aligned}$$

# Decaimento do pión

- O decaimento do pión:

$$\pi^- \rightarrow l^- + \bar{\nu}_l$$

- A taxa de decaimento é:

$$\Gamma = \frac{|\vec{p}_2|}{8\pi\hbar m_\pi^2 c} \langle |\mathcal{M}|^2 \rangle$$

e com o momento de saída (probl. 3.16):

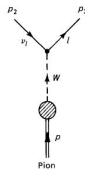
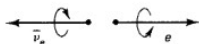
$$|\vec{p}_2| = \frac{c}{2m_\pi} (m_\pi^2 - m_l^2) \Rightarrow \Gamma = \frac{f_\pi^2}{\pi\hbar m_\pi^3} \left( \frac{g_w}{4M_W} \right)^4 m_l^2 (m_\pi^2 - m_l^2)^2.$$

- Agora, mesmo sem saber  $f_\pi$ , podemos calcular, por exemplo, a razão:

$$\frac{\Gamma(\pi^- \rightarrow e^- + \bar{\nu}_e)}{\Gamma(\pi^- \rightarrow \mu^- + \bar{\nu}_\mu)} = \frac{m_e^2 (m_\pi^2 - m_e^2)^2}{m_\mu^2 (m_\pi^2 - m_\mu^2)^2} = 1,28 \times 10^{-4},$$

cujo valor experimental é  $1,23 \times 10^{-4}$ , isto é, o modo de decaimento em elétron é bastante suprimido.

- Note que se  $m_l \rightarrow 0$ :  $\Gamma \rightarrow 0$ , pois, neste limite, o “elétron” seria unicamente de mão de direita:



# Interações fracas carregadas de quarks

- As interações fracas carregadas entre *léptons* é sempre intragerações:

$$\begin{pmatrix} \nu_e \\ e \end{pmatrix}, \quad \begin{pmatrix} \nu_\mu \\ \mu \end{pmatrix}, \quad \begin{pmatrix} \nu_\tau \\ \tau \end{pmatrix},$$

p.ex.:  $e^- \rightarrow \nu_e + W^-$ ,  $\mu^- \rightarrow \nu_\mu + W^-$ ,  $\tau^- \rightarrow \nu_\tau + W^-$

- Mas no caso dos quarks, a coisa não é tão simples:


$$\begin{pmatrix} u \\ d \end{pmatrix}, \quad \begin{pmatrix} c \\ s \end{pmatrix}, \quad \begin{pmatrix} t \\ b \end{pmatrix},$$

- ▶ intragerações:  $d \rightarrow u + W^-$  (no decaimento:  $n \rightarrow p + e^- + \bar{\nu}_e$ );
- ▶ intergerações:  $s \rightarrow u + W^-$  (no decaimento:  $\Lambda \rightarrow p + e^- + \bar{\nu}_e$ ).

Se não houvesse os cruzamentos entre gerações, teríamos as 3 leis de conservação respectivas de cada geração. Ademais, partículas como o  $K^-$  (a estranha mais leve), ou o  $B$  (a bonita mais leve), seriam estáveis.

# Interações fracas carregadas de quarks - Exemplos

- Em 1963, Cabibbo propôs (quando se conhecia, no máximo,  $u$ ,  $d$  e  $s$ ):



$$\frac{-ig_w}{2\sqrt{2}} \gamma^\mu (1 - \gamma^5) \cos \theta_C \quad \frac{-ig_w}{2\sqrt{2}} \gamma^\mu (1 - \gamma^5) \sin \theta_C$$

que estes vértices carregassem os fatores extras:  $\sin \theta_C$  e  $\cos \theta_C$ . Como entre os dois, o vértice  $s \rightarrow u + W^-$  é o suprimido, o *ângulo de Cabibbo* deve ser pequeno:

$$\theta_C = 13,1^\circ$$

## 2 Decaimento leptônico:

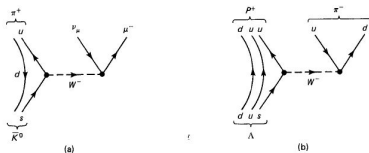
$K^- \rightarrow l^- + \bar{\nu}_l$ , onde  $l$  é um lépton, tem um vértice  $s + \bar{u} \rightarrow W^-$ , como o da direita. (Analogamente, o decaimento do  $\pi^- \rightarrow l^- + \bar{\nu}_l$ , tem um vértice  $d + \bar{u} \rightarrow W^-$ , como o da esquerda.)

Agora:

$$\Gamma = \frac{f_K^2}{\pi \hbar m_K^3} \left( \frac{g_w}{4M_W} \right)^4 m_l^2 (m_K^2 - m_l^2)^2 \Rightarrow$$

$$\frac{\Gamma(K^- \rightarrow l^- + \bar{\nu}_l)}{\Gamma(\pi^- \rightarrow l^- + \bar{\nu}_l)} = \tan^2 \theta_C \left( \frac{m_\pi}{m_K} \right)^3 \left( \frac{m_K^2 - m_l^2}{m_\pi^2 - m_l^2} \right)^2$$

## Interações fracas carregadas de quarks - Exemplos



(a)  $\bar{K}^0 \rightarrow \pi^+ + \mu^- + \bar{\nu}_\mu$  é um exemplo de *decaimento semileptônico*;

(b)  $\Lambda \rightarrow p + \pi^-$  é um exemplo de *decaimento não leptônico*.

③ **Decaimento semileptônico:** Sejam 2 processos com o vértice  $d \rightarrow u + W^-$ :

► No decaimento  $n \rightarrow p + e + \bar{\nu}_e$ , os estados de sabor  $\psi_{12}$  (Cap.5):

$$n = (ud - du)d/\sqrt{2}, \quad d \rightarrow u: \quad p = (ud - du)u/\sqrt{2} \Rightarrow (*\cos\theta_C)$$

► No decaimento  $\Sigma^0 \rightarrow \Sigma^+ + e + \bar{\nu}_e$ :

$$\Sigma^0 = [(us - su)d + (ds - sd)u]/\sqrt{2}, \quad d \rightarrow u: \quad (us - su)u = \sqrt{2}\Sigma^+ \Rightarrow (*\sqrt{2}\cos\theta_C)$$

Nestes casos:

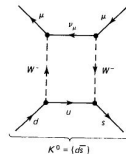
$$\Gamma = \frac{1}{30\pi^3\hbar} \left( \frac{g_w}{2M_W c^2} \right)^4 (\Delta m c^2)^5 X^2,$$

onde  $\Delta m$  é a diferença de massa dos bárions e  $X$  o fator de Cabibbo (acima).

# Interações fracas carregadas de quarks

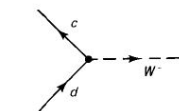
- Consideremos o processo de decaimento do  $K^0$ :

$$K^0 \rightarrow \mu^+ + \mu^-.$$

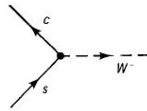


A amplitude deve ser proporcional a  $\sin \theta_C \cos \theta_C$ . Entretanto, a taxa de decaimento calculada é muito maior que o valor experimental;

- Em 1970, Glashow, Iliopoulos e Maiani (GIM) propuseram uma solução. Eles introduziram um 4º quark ( $c$ ), cujos acomplementos são:



$$\frac{-ig_w}{2\sqrt{2}} \gamma^\mu (1 - \gamma^5) (-\sin \theta_C)$$



$$\frac{-ig_w}{2\sqrt{2}} \gamma^\mu (1 - \gamma^5) \cos \theta_C$$

proporcionais a  $-\sin \theta_C$  e  $\cos \theta_C$ ;

- No mecanismo GIM, a amplitude do decaimento do  $K^0$  deve ser proporcional a  $-\sin \theta_C \cos \theta_C$ .



# Interações fracas carregadas de quarks

- O mecanismo Cabibbo-GIM, sugere que, nas interações fracas, os quarks se comportam como misturas de estados:

$$d' = d \cos \theta_C + s \sin \theta_C, \quad s' = -d \sin \theta_C + s \cos \theta_C,$$

ou, em forma matricial:

$$\begin{pmatrix} d' \\ s' \end{pmatrix} = \begin{pmatrix} \cos \theta_C & \sin \theta_C \\ -\sin \theta_C & \cos \theta_C \end{pmatrix} \begin{pmatrix} d \\ s \end{pmatrix}.$$

- Os  $W$ s acoplam-se a estados rodados:

$$\begin{pmatrix} u \\ d' \end{pmatrix}, \quad \begin{pmatrix} c \\ s' \end{pmatrix}$$

ou aos estados físicos:

$$\begin{pmatrix} u \\ d' \end{pmatrix} = \begin{pmatrix} u \\ d \cos \theta_C + s \sin \theta_C \end{pmatrix}, \quad \begin{pmatrix} c \\ s' \end{pmatrix} = \begin{pmatrix} c \\ -d \sin \theta_C + s \cos \theta_C \end{pmatrix}.$$

Assim,  $d \rightarrow u + W^-$  carrega um fator  $\cos \theta_C$  e  $s \rightarrow u + W^-$  carrega um fator  $\sin \theta_C$ .

# Interações fracas carregadas de quarks

- Posteriormente, Kobayashi e Maskawa generalizaram o mecanismo Cabibbo-GIM para as 3 gerações de quarks:

$$\begin{pmatrix} u \\ d' \end{pmatrix}, \begin{pmatrix} c \\ s' \end{pmatrix}, \begin{pmatrix} t \\ b' \end{pmatrix},$$

com a *matriz de Kobayashi-Maskawa*:

$$\begin{pmatrix} d' \\ s' \\ b' \end{pmatrix} = \begin{pmatrix} U_{ud} & U_{us} & U_{ub} \\ U_{cd} & U_{cs} & U_{cb} \\ U_{td} & U_{ts} & U_{tb} \end{pmatrix} \begin{pmatrix} d \\ s \\ b \end{pmatrix}.$$

- A matriz tem 9 entradas, que não são todas independentes (probl. 10.14). Ela pode ser reduzida à “forma canônica”, com 3 ângulos generalizados ( $\theta_1, \theta_2, \theta_3$ ) e 1 fator de fase  $\delta$ :

$$U = \begin{pmatrix} c_1 & s_1 c_3 & s_1 s_3 \\ -s_1 c_2 & c_1 c_2 c_3 - s_2 s_3 e^{i\delta} & c_1 c_2 s_3 + s_2 c_3 e^{i\delta} \\ -s_1 s_2 & c_1 s_2 c_3 + c_2 s_3 e^{i\delta} & c_1 s_2 s_3 - c_2 c_3 e^{i\delta} \end{pmatrix},$$

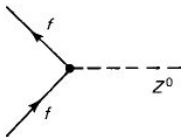
onde  $c_i = \cos \theta_i$  e  $s_i = \sin \theta_i$ .

- Alguns valores obtidos experimentalmente são:

$$|U_{ij}| = \begin{pmatrix} 0,9705 - 0,9770 & 0,21 - 0,24 & 0 - 0,014 \\ 0,21 - 0,24 & 0,971 - 0,973 & 0,036 - 0,070 \\ 0 - 0,024 & 0,036 - 0,069 & 0,997 - 0,999 \end{pmatrix}.$$

# Interações fracas neutras

- Em 1958, Bludman sugeriu que devem existir interações neutras fracas, mediada por um bóson neutro, o  $Z^0$ :



onde  $f$  é um lépton ou um quark qualquer, que o mesmo na entrada e na saída do vértice. Não são permitidos vértices como:

$$\mu^- \rightarrow e^- + Z^0,$$

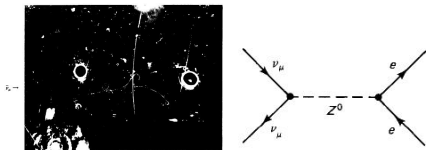
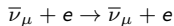
que viola a conservação dos números leptônicos,

$$s \rightarrow d + Z^0,$$

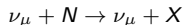
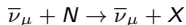
que viola a conservação da estranheza.

# Interações fracas neutras

- Em 1961, Glashow publicou o 1º paper sobre a unificação das interações fraca e eletromagnética. Em 1967, Weinberg e Salam formularam a “teoria da quebra espontânea de calibre”. E, em 1971, t’Hooft demonstrou que a teoria é renormalizável. As razões teóricas aumentavam, mas em 1973 veio do CERN a primeira evidência experimental, pela reação:



- Os mesmos experimentos obtiveram os processos neutrino-quark correspondentes:



As seções de choque são cerca de um terço das interações carregadas respectivas ( $\bar{\nu}_\mu + N \rightarrow \mu^+ + X$  e  $\nu_\mu + N \rightarrow \mu^- + X$ ), indicando que era uma nova interação e não uma correção de ordem maior.

# Interações fracas neutras

- Os acoplamentos de quarks e léptons com o  $W^\pm$  seguem a forma universal “V-A”, com fatores:

$$\frac{-ig_w}{2\sqrt{2}}\gamma^\mu(1-\gamma^5) \quad (\text{fator de vértice } W^\pm),$$

$$\frac{-ig_z}{2}\gamma^\mu(c_V^f - c_A^f\gamma^5) \quad (\text{fator de vértice } Z^0),$$

onde  $g_w$  é a constante de acoplamento carregada,  $g_z$  é a constante de acoplamento neutra e  $c_V^f$  e  $c_A^f$  são coeficientes que dependem do quark ou do lépton ( $f$ ) envolvido.

- No modelo GWS, todos esses parâmetros dependem de  $\theta_w$ , o “ângulo de mistura fraco”, ou “ângulo de Weinberg”:

$f$	$c_V$	$c_A$
$\nu_e, \nu_\mu, \nu_\tau$	$\frac{1}{2}$	$\frac{1}{2}$
$e^-, \mu^-, \tau^-$	$-\frac{1}{2} + 2 \sin^2 \theta_w$	$-\frac{1}{2}$
$u, c, t$	$\frac{1}{2} - \frac{4}{3} \sin^2 \theta_w$	$\frac{1}{2}$
$d, s, b$	$-\frac{1}{2} + \frac{2}{3} \sin^2 \theta_w$	$-\frac{1}{2}$

**TABLE 10.1** NEUTRAL VECTOR AND AXIAL VECTOR COUPLINGS IN THE GWS MODEL

Além disso:

$$g_w = \frac{g_e}{\sin \theta_w}, \quad g_z = \frac{g_e}{\sin \theta_w \cos \theta_w},$$

onde  $g_e$  é a constante de acoplamento eletromagnética (em unidades de  $e$ ).

- Experimentalmente, obtém-se:  $\theta_w = 28,7^\circ \Rightarrow \sin^2 \theta_w = 0,23$ .

# Interações fracas neutras

- O propagador do  $Z^0$  é:

$$\frac{-i(g_{\mu\nu} - q_\mu q_\nu / M_Z^2 c^2)}{q^2 - M_Z^2 c^2},$$

que no caso típico ( $q^2 \ll M_Z^2 c^2$ ) reduz-se a:

$$\frac{-ig_{\mu\nu}}{(M_Z c)^2}$$

- Finalmente, as massas dos  $W^\pm$  e  $Z^0$  estão relacionadas (probl. 10.17):

$$M_W = M_Z \cos \theta_W.$$

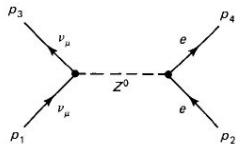
- Em 1983, o grupo de C. Rubia no CERN mediu as massas:

$$M_W = 82 \text{ GeV}/c^2 \text{ e } M_Z = 92 \text{ GeV}/c^2.$$

# Interações fracas neutras - Exemplos

- 4 **Espalhamento elétron-neutrino elástico:** Consideremos a seguinte reação, medida pelo  $Z^0$ , e descrita pelo seguinte diagrama:

$$\nu_\mu + e \rightarrow \nu_\mu + e$$



A amplitude é:

$$\mathcal{M} = \frac{g_Z^2}{8(M_{ZC})^2} [\bar{u}(3)\gamma^\mu(1 - \gamma^5)u(1)][\bar{u}(4)\gamma_\mu(c_V - c_A\gamma^5)u(2)]$$

e assim:

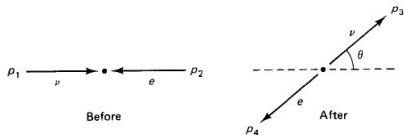
$$\begin{aligned} \langle |\mathcal{M}|^2 \rangle &= 2 \left( \frac{g_Z}{4M_{ZC}} \right)^4 \text{Tr}\{\gamma^\mu(1 - \gamma^5)\not{p}_1\gamma^\nu(1 - \gamma^5)\not{p}_3\} \times \\ &\times \text{Tr}\{\gamma_\mu(c_V - c_A\gamma^5)(\not{p}_2 + mc)\gamma_\nu(c_V - c_A\gamma^5)(\not{p}_4 + m_\mu c)\} = \\ &= \frac{1}{2} \left( \frac{g_Z}{M_{ZC}} \right)^4 \{ (c_V + c_A)^2 (p_1 \cdot p_2)(p_3 \cdot p_4) + (c_V - c_A)^2 (p_1 \cdot p_4)(p_2 \cdot p_3) - (mc)^2 (c_V^2 - c_A^2)(p_1 \cdot p_3) \}, \end{aligned}$$

onde  $m$  é a massa do elétron e  $c_V$  e  $c_A$  são os acoplamentos fracos neutros para o elétron.

# Interações fracas neutras - Exemplos

## ● Espalhamento elétron-neutrino elástico:

No referencial do CM:



e ignorando a massa do elétron ( $m \rightarrow 0$ ):

$$\langle |\mathcal{M}|^2 \rangle = 2 \left( \frac{g_z E}{M_Z c^2} \right)^4 \left[ (c_V + c_A)^2 + (c_V - c_A)^2 \cos^4 \frac{\theta}{2} \right]$$

onde  $E$  é a energia do elétron (ou do neutrino) e  $\theta$  o ângulo de espalhamento. A seção de choque diferencial é:

$$\frac{d\sigma}{d\Omega} = 2 \left( \frac{\hbar c}{\pi} \right)^2 \left( \frac{g_z}{4M_Z c^2} \right)^4 E^2 \left[ (c_V + c_A)^2 + (c_V - c_A)^2 \cos^4 \frac{\theta}{2} \right]$$

e a seção de choque total é:

$$\sigma = \frac{2}{3\pi} (\hbar c)^2 \left( \frac{g_z}{2M_Z c^2} \right)^4 E^2 (c_V^2 + c_A^2 + c_V c_A).$$

Substituindo-se os valores da tabela e comparando-se com o exemplo 1, vem:

$$\frac{\sigma(\nu_\mu + e^- \rightarrow \nu_\mu + e^-)}{\sigma(\nu_\mu + e^- \rightarrow \nu_\mu + \mu^-)} = \frac{1}{4} - \sin^2 \theta_w + \frac{2}{3} \sin^4 \theta_w = 0,09$$

e o valor experimental é de 0,08 ( $\sim 10\%$ ).

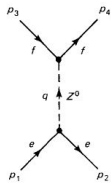


# Interações fracas neutras - Exemplos

## 5 Espalhamento elétron-pósitron próximo do pólo do $Z^0$ :

Consideremos a seguinte reação:

$$e^+ + e^- \rightarrow f + \bar{f}$$



onde  $f$  é um quark ou lépton qualquer (com  $m_f \ll M_Z$ ).

Neste caso, usaremos o propagador não aproximado, pois estamos interessados no regime  $q^2 \sim (M_Z c)^2$ . A amplitude é:

$$\mathcal{M} = -\frac{g_Z^2}{4(q^2 - (M_Z c)^2)} [\bar{u}(4)\gamma^\mu (c_V^f - c_A^f \gamma^5) v(3)] \left( g_{\mu\nu} - \frac{q_\mu q_\nu}{(M_Z c)^2} \right) [\bar{v}(2)\gamma^\nu (c_V^e - c_A^e \gamma^5) u(1)],$$

onde  $q = p_1 + p_2 = p_3 + p_4$ .

Trabalhando na vizinhança de 90 GeV, podemos ignorar as massas do lépton e do quark. Neste caso, o 2º termo do propagador não contribui em nada e, pois da contração  $q_\mu \gamma^\mu$ , vem o fator:

$$\bar{u}(4) \not{q} (c_V - c_A \gamma^5) v(3),$$

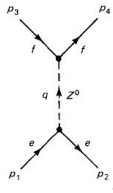
mas  $\not{q} = \not{p}_3 + \not{p}_4$  e  $\bar{u}(4)\not{p}_4 = 0$  (da eq. de Dirac para  $m = 0$ ) e, ainda, pela mesma razão:

$$\not{p}_3 (c_V - c_A \gamma^5) v(3) = (c_V - c_A \gamma^5) \not{p}_3 v(3) = 0.$$

# Interações fracas neutras - Exemplos

## 5 Espalhamento elétron-pósitron próximo do pólo do $Z^0$ :

$$e^+ + e^- \rightarrow f + \bar{f}$$



Assim:

$$\mathcal{M} = -\frac{g_Z^2}{4[q^2 - (M_{Zc})^2]} [\bar{u}(4)\gamma^\mu (c_V^f - c_A^f \gamma^5) v(3)] [\bar{v}(2)\gamma_\mu (c_V^e - c_A^e \gamma^5) u(1)]$$

e segue-se que:

$$\begin{aligned} \langle |\mathcal{M}|^2 \rangle = & \left[ \frac{g_Z^2}{8(q^2 - (M_{Zc})^2)} \right]^2 \text{Tr}\{\gamma^\mu (c_V^f - c_A^f \gamma^5) \not{p}_3 \gamma^\nu (c_V^f - c_A^f \gamma^5) \not{p}_4\} \times \\ & \times \text{Tr}\{\gamma_\mu (c_V^e - c_A^e \gamma^5) \not{p}_1 \gamma_\nu (c_V^e - c_A^e \gamma^5) \not{p}_2\}. \end{aligned}$$

Calculando-se os traços ... o primeiro é:

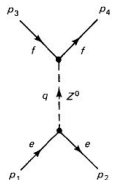
$$(c_V^2 + c_A^2)[p_3^\mu p_4^\nu + p_3^\nu p_4^\mu - g^{\mu\nu}(p_3 \cdot p_4)] - 2ic_V c_A \epsilon^{\mu\nu\lambda\sigma} p_{3\sigma} p_{4\sigma}$$

e o segundo tem formato análogo.

# Interações fracas neutras - Exemplos

## 5 Espalhamento elétron-pósitron próximo do pólo do $Z^0$ :

$$e^+ + e^- \rightarrow f + \bar{f}$$



Assim:

$$\langle |\mathcal{M}|^2 \rangle = \frac{1}{2} \left[ \frac{g_z^2}{q^2 - (M_Z c^2)^2} \right]^2 \left\{ [(c_V^f)^2 + (c_A^f)^2][(c_V^e)^2 + (c_A^e)^2] \times \right.$$

$$\left. \times [(p_1 \cdot p_3)(p_2 \cdot p_4) + (p_1 \cdot p_4)(p_2 \cdot p_3)] + 4c_V^f c_A^f c_V^e c_A^e [(p_1 \cdot p_3)(p_2 \cdot p_4) - (p_1 \cdot p_4)(p_2 \cdot p_3)] \right\},$$

que no CM reduz-se a:

$$\langle |\mathcal{M}|^2 \rangle = \left[ \frac{g_z^2 E^2}{(2E)^2 - (M_Z c^2)^2} \right]^2 \left\{ [(c_V^f)^2 + (c_A^f)^2][(c_V^e)^2 + (c_A^e)^2](1 + \cos^2 \theta) - 8c_V^f c_A^f c_V^e c_A^e \cos \theta \right\},$$

onde  $E$  é a energia do elétron (ou do férmion) e  $\theta$  o ângulo de espalhamento. A seção de choque diferencial é:

$$\frac{d\sigma}{d\Omega} = \left( \frac{\hbar c g_z^2 E}{16\pi [(2E)^2 - (M_Z c^2)^2]} \right)^2 \left\{ [(c_V^f)^2 + (c_A^f)^2][(c_V^e)^2 + (c_A^e)^2](1 + \cos^2 \theta) - 8c_V^f c_A^f c_V^e c_A^e \cos \theta \right\}$$

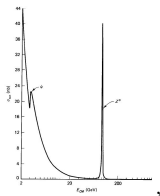
E a seção de choque total é:

$$\sigma = \frac{1}{3\pi} \left( \frac{\hbar c g_z^2 E}{4[(2E)^2 - (M_Z c^2)^2]} \right)^2 [(c_V^f)^2 + (c_A^f)^2][(c_V^e)^2 + (c_A^e)^2].$$

# Interações fracas neutras - Exemplos

## 5 Espalhamento elétron-pósitron próximo do pólo do $Z^0$ :

$$e^+ + e^- \rightarrow f + \bar{f}$$



$$\sigma = \frac{1}{3\pi} \left( \frac{\hbar c g_Z^2 E}{4[(2E)^2 - (M_Z c^2)^2]} \right)^2 [(c_V^f)^2 + (c_A^f)^2][(c_V^e)^2 + (c_A^e)^2].$$

Note que há um pólo em  $2E = M_Z c^2$ . O problema vem de termos tratado o  $Z^0$  como estável, mas ele tem um tempo de vida  $\tau_Z$ . Alterando o propagador:

$$\frac{1}{q^2 - (M_Z c)^2} \rightarrow \frac{1}{q^2 - (M_Z c)^2 + i\hbar M_Z \Gamma_Z},$$

onde  $\Gamma_Z = 1/\tau_Z$  é a taxa de decaimento. A seção de choque diferencial fica:

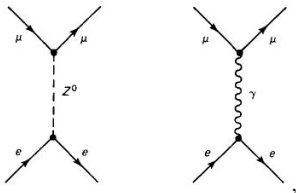
$$\sigma = \frac{(\hbar c g_Z^2 E)^2}{48\pi} \frac{[(c_V^f)^2 + (c_A^f)^2][(c_V^e)^2 + (c_A^e)^2]}{[(2E)^2 - (M_Z c^2)^2]^2 + (\hbar \Gamma_Z M_Z c^2)^2},$$

o que ameniza o pico na vizinhança do pólo do  $Z^0$ .

# Interações fracas neutras - Exemplos

## 5 Espalhamento elétron-pósitron próximo do pólo do $Z^0$ :

$$e^+ + e^- \rightarrow f + \bar{f}$$



No capítulo 8, calculamos o mesmo processo medidado por um fóton:

$$\sigma = \frac{(\hbar c g_Z^2 E)^2 (Q^f)^2}{48\pi E^2},$$

onde  $Q^f$  é a carga de  $f$  em unidades de  $e$ .

Então, a razão:

$$\frac{\sigma(e^+e^- \rightarrow Z^0 \rightarrow \mu^+\mu^-)}{\sigma(e^+e^- \rightarrow \gamma \rightarrow \mu^+\mu^-)} = \overbrace{\left\{ \frac{(1/2 - 2\sin^2\theta_W + 4\sin^4\theta_W)^2}{(\cos\theta_W \sin\theta_W)^4} \right\}^{\sim 2}} \times \frac{E^4}{[(2E)^2 - (M_Z c^2)^2]^2 + (\hbar\Gamma_Z M_Z c^2)^2},$$

Agora, bem abaixo do pólo ( $2E \ll M_Z c^2$ ), o processo eletromagnético é dominante:

$$\frac{\sigma_Z}{\sigma_\gamma} \approx 2 \left( \frac{E}{M_Z c^2} \right)^4 \ll 1$$

e, em cima do pólo ( $2E = M_Z c^2$ ), o processo fraco é dominante:

$$\frac{\sigma_Z}{\sigma_\gamma} \approx \frac{1}{8} \left( \frac{M_Z c^2}{\hbar\Gamma_Z} \right) \gg 1.$$

# Unificação eletrofraca

## 1) Estados quirais de férmions

- O intuito original de Glashow, em 1961, era *unificar* as interações eletromagnéticas e fraca.
  - ▶ Primeiro, havia (há) uma grande disparidade das intensidades, mas isto poderia ser explicado pelos mediadores massivos da força fraca;
  - ▶ O que leva à segunda questão: por que o mediador eletromagnético ( $\gamma$ ) é sem massa enquanto que os da força fraca ( $W^\pm$  e  $Z^0$ ) são tão pesados? A solução de Weinberg e Salam foi, em 1967, de considerar o “*mecanismo de Higgs*”;
  - ▶ Finalmente, há uma diferença estrutural nos vértices das interações eletromagnéticas ( $\gamma^\mu$ , vetorial) e fraca ( $\gamma^\mu(1 - \gamma^5)$ , vetorial-axial).
- A última dificuldade é resolvida com a absorção da matriz  $(1 - \gamma^5)$  dentro do spinor:

$$u_L(p) \equiv \frac{(1 - \gamma^5)}{2} u(p),$$

onde o subscrito  $L$  indica “*mão esquerda*”, mas nem sempre  $u_L$  é um autoestado de helicidade ...

# Unificação eletrofraca

- Pode-se mostrar que (probl. 10.23):

$$\gamma^5 u(p) = \begin{pmatrix} \frac{c(\vec{p} \cdot \vec{\sigma})}{E+mc^2} & 0 \\ 0 & \frac{c(\vec{p} \cdot \vec{\sigma})}{E-mc^2} \end{pmatrix} u(p).$$

Se a partícula em questão é sem massa, então  $E = |\vec{p}|c^1$ , e, como antes:

$$\gamma^5 u(p) = (\hat{p} \cdot \vec{\Sigma}) u(p), \quad \text{onde } \vec{\Sigma} = \begin{pmatrix} \vec{\sigma} & 0 \\ 0 & \vec{\sigma} \end{pmatrix}.$$

Agora,  $\frac{\hbar}{2} \vec{\Sigma}$  é a matriz de spin para partículas de Dirac, então  $(\hat{p} \cdot \vec{\Sigma})$  é a helicidade, com autovalores  $\pm 1$ . De acordo:

$$\frac{1}{2}(1 - \gamma^5)u(p) = \begin{cases} 0, & \text{se } u(p) \text{ tem } h = +1 \\ u(p), & \text{se } u(p) \text{ tem } h = -1 \end{cases} \quad (\text{somente para } m = 0),$$

ou seja,  $\frac{1}{2}(1 - \gamma^5)$  é um “operador de projeção”, pegando somente a componente de  $u(p)$  com helicidade  $-1$ .

- Por isso, todo mundo chama  $u_L$  de um estado de mão esquerda.

<sup>1</sup>Se a partícula tiver massa  $E \approx |\vec{p}|c$  no regime ultrarrelativístico ( $E \gg mc^2$ ).

# Unificação eletrofraca

- Enquanto que, para uma antipartícula com  $m = 0$  (probl. 10.23):

$$\gamma^5 v(p) = -(\hat{p} \cdot \vec{\Sigma})v(p).$$

Por isso, define-se:

$$v_L(p) \equiv \frac{(1 + \gamma^5)}{2} v(p).$$

- Os spinores de “*mão direita*” correspondentes são:

$$u_R(p) \equiv \frac{(1 + \gamma^5)}{2} u(p), \quad v_R(p) \equiv \frac{(1 - \gamma^5)}{2} v(p).$$

- E os spinores adjuntos são:

$$\bar{u}_L = u_L^\dagger \gamma^0 = u^\dagger \frac{(1 - \gamma^5)}{2} \gamma^0 = u^\dagger \gamma^0 \frac{(1 + \gamma^5)}{2} = \bar{u} \frac{(1 + \gamma^5)}{2},$$

pois  $\gamma^5$  é hermitiana ( $\gamma^{5\dagger} = \gamma^5$ ) e anticomuta com  $\gamma^\mu$  ( $\gamma^5 \gamma^\mu = -\gamma^\mu \gamma^5$ ),

$$\bar{v}_L = \bar{v} \frac{(1 - \gamma^5)}{2},$$

$$\bar{u}_R = \bar{u} \frac{(1 - \gamma^5)}{2},$$

$$\bar{v}_R = \bar{v} \frac{(1 + \gamma^5)}{2}.$$

Estes são os spinores “*quirais*” dos férmions.

**TABLE 10.2** CHIRAL SPINORS

Particles	Antiparticles
$u_L = \frac{1}{2}(1 - \gamma^5)u$	$v_L = \frac{1}{2}(1 + \gamma^5)v$
$u_R = \frac{1}{2}(1 + \gamma^5)u$	$v_R = \frac{1}{2}(1 - \gamma^5)v$
$\bar{u}_L = \bar{u} \frac{1}{2}(1 + \gamma^5)$	$\bar{v}_L = \bar{v} \frac{1}{2}(1 - \gamma^5)$
$\bar{u}_R = \bar{u} \frac{1}{2}(1 - \gamma^5)$	$\bar{v}_R = \bar{v} \frac{1}{2}(1 + \gamma^5)$

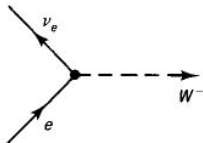
$R$  and  $L$  correspond to helicity  $+1$  and  $-1$  if  $m = 0$ , and approximately so if  $E \gg mc^2$ .



# Unificação eletrofraca - Exemplo

- Consideremos o seguinte vértice:

$$e \rightarrow \nu_e + W^-$$



cujo fator na amplitude  $\mathcal{M}$  é:

$$j_{\mu}^{-} = \bar{\nu} \gamma_{\mu} \left( \frac{1 - \gamma^5}{2} \right) e,$$

conhecido como “*corrente*” fraca (negativamente carregada).

Calculemos:

$$\begin{aligned} \left( \frac{1 - \gamma^5}{2} \right)^2 &= \frac{1}{4} [1 - 2\gamma^5 + (\gamma^5)^2] = \left( \frac{1 - \gamma^5}{2} \right), \quad \gamma_{\mu} \left( \frac{1 - \gamma^5}{2} \right) = \left( \frac{1 + \gamma^5}{2} \right) \gamma_{\mu} \\ \Rightarrow \gamma_{\mu} \left( \frac{1 - \gamma^5}{2} \right) &= \gamma_{\mu} \left( \frac{1 - \gamma^5}{2} \right)^2 = \left( \frac{1 + \gamma^5}{2} \right) \gamma_{\mu} \left( \frac{1 - \gamma^5}{2} \right) \end{aligned}$$

Assim, em termos dos spinores quirais:

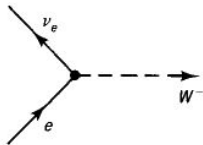
$$j_{\mu}^{-} = \bar{\nu} \gamma_{\mu} \left( \frac{1 - \gamma^5}{2} \right) e = \bar{\nu} \left( \frac{1 + \gamma^5}{2} \right) \gamma_{\mu} \left( \frac{1 - \gamma^5}{2} \right) e \Rightarrow \boxed{j_{\mu}^{-} = \bar{\nu}_L \gamma_{\mu} e_L}.$$

Desta forma, o fator de vértice é puramente *vetorial*, mas acopla somente elétrons de mão esquerda com neutrinos de mão esquerda.

# Unificação eletrofraca - Exemplo

- Consideremos o seguinte vértice:

$$e \rightarrow \nu_e + W^-$$



Note, agora, que:

$$u = \left( \frac{1 - \gamma^5}{2} \right) u + \left( \frac{1 + \gamma^5}{2} \right) u = u_L + u_R.$$

Analogamente:  $\bar{u} = \bar{u}_R + \bar{u}_L$ .

Já a corrente eletromagnética, em termos dos spinores quirais, é:

$$j_\mu^{em} = -\bar{e}\gamma_\mu e = -(\bar{e}_L + \bar{e}_R)\gamma_\mu(e_L + e_R) = -\bar{e}_L\gamma_\mu e_L - \bar{e}_R\gamma_\mu e_R,$$

pois os termos cruzados se cancelam:

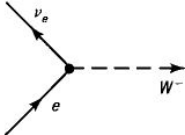
$$\begin{aligned} \bar{e}_L\gamma_\mu e_R &= \bar{e} \left( \frac{1 + \gamma^5}{2} \right) \gamma_\mu \left( \frac{1 + \gamma^5}{2} \right) e = \bar{e}\gamma_\mu \left( \frac{1 - \gamma^5}{2} \right) \left( \frac{1 + \gamma^5}{2} \right) e = \\ &= \frac{1}{4} \bar{e}\gamma_\mu (1 - \gamma^5)(1 + \gamma^5) e = \frac{1}{4} \bar{e}\gamma_\mu [1 - (\gamma^5)^2] e = 0 \end{aligned}$$

Desta forma, nesta teoria unificada, a corrente fraca acopla-se somente com os estados de mão esquerda, enquanto que a eletromagnética com ambos os estados.

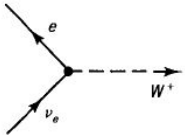
# Unificação eletrofraca

## 2) Isospin e hipercarga fracos

- Além do vértice de corrente fraca negativamente carregada, há também a positivamente carregada:

$$j_{\mu}^{-} = \bar{\nu}_L \gamma_{\mu} e_L$$


$$e^{-} \rightarrow \nu_e + W^{-},$$

$$j_{\mu}^{+} = \bar{e}_L \gamma_{\mu} \nu_L$$


$$\nu_e \rightarrow e^{-} + W^{+}.$$

- Vamos introduzir o dublete de mão esquerda e 2 matrizes  $2 \times 2$ , respectivamente:

$$\chi_L = \begin{pmatrix} \nu_e \\ e \end{pmatrix}_L, \quad \tau^{+} = \begin{pmatrix} 0 & 1 \\ 0 & 0 \end{pmatrix}, \quad \tau^{-} = \begin{pmatrix} 0 & 0 \\ 1 & 0 \end{pmatrix},$$

tais que:

$$j_{\mu}^{\pm} = \bar{\chi}_L \gamma_{\mu} \tau^{\pm} \chi_L.$$

As matrizes  $\tau^{\pm}$  são combinações lineares das primeiras 2 matrizes de spin de Pauli:

$$\tau^{\pm} = \frac{1}{2}(\tau^1 \pm i\tau^2).$$

► Note a analogia com o *isospin*.

# Unificação eletrofraca

- Poderíamos completar a simetria de “*isospin fraco*” se houvesse a terceira corrente fraca:

$$\frac{1}{2}\tau^3 = \frac{1}{2} \begin{pmatrix} 1 & 0 \\ 0 & -1 \end{pmatrix},$$

tal que:

$$j_\mu^3 = \bar{\chi}_L \gamma_\mu \frac{1}{2} \tau^3 \chi_L = \frac{1}{2} \bar{\nu}_L \gamma_\mu \nu_L - \frac{1}{2} \bar{e}_L \gamma_\mu e_L,$$

mas esta é puramente de mão esquerda ( $V - A$ ) e a corrente neutra envolve uma componente de mão direita também.

- Vamos introduzir a *hipercarga*, analogamente:

$$Q = I^3 + \frac{1}{2} Y,$$

onde  $Q$  é a carga em unidades de  $e$  e  $I^3$  é a terceira componente do isospin.

Introduzimos, então, a corrente de “*hipercarga fraca*”:

$$j_\mu^Y = 2j_\mu^{em} - 2j_\mu^3 = -2\bar{e}_R \gamma_\mu e_R - \bar{e}_L \gamma_\mu e_L - \bar{\nu}_L \gamma_\mu \nu_L,$$

que é um invariante de isospin fraco, assim como a componente puramente de mão esquerda:

$$\bar{e}_L \gamma_\mu e_L + \bar{\nu}_L \gamma_\mu \nu_L = \bar{\chi}_L \gamma_\mu \tau^\pm \chi_L.$$

# Unificação eletrofraca

- A simetria em questão é denominada  $SU(2)_L \otimes U(1)$ , onde  $SU(2)_L$  refere-se ao isospin fraco e  $U(1)$  à hipercarga fraca;
- Podemos estender a teoria também para as outras gerações de léptons e quarks:

$$\chi_L \rightarrow \begin{pmatrix} \nu_e \\ e \end{pmatrix}_L, \begin{pmatrix} \nu_\mu \\ \mu \end{pmatrix}_L, \begin{pmatrix} \nu_\tau \\ \tau \end{pmatrix}_L, \begin{pmatrix} u \\ d' \end{pmatrix}_L, \begin{pmatrix} c \\ s' \end{pmatrix}_L, \begin{pmatrix} t \\ b' \end{pmatrix}_L.$$

Com eles, construímos as 3 correntes de isospin:

$$\vec{j}_\mu = \frac{1}{2} \bar{\chi}_L \gamma_\mu \vec{\tau} \chi_L, \quad j_\mu^Y = 2j_\mu^{em} - 2j_\mu^3,$$

onde:

$$j_\mu^{em} = \sum_{i=1}^2 Q_i (\bar{u}_{iL} \gamma_\mu u_{iL} + \bar{u}_{iR} \gamma_\mu u_{iR}),$$

com soma sobre as partículas do dubleto.

# Unificação eletrofraca

## 3) Mistura eletrofraca

- O modelo GWS afirma que as 3 correntes de isospin fracas acoplam-se, com intensidade  $g_w$ , com um isotripleto fraco de bósons vetoriais intermediários,  $\vec{W}$ , enquanto que a corrente de hipercarga fraca acopla-se, com intensidade  $g'/2$ , com um bóson vetorial intermediário de um isossinglete,  $B$ :

$$-i \left[ g_w \vec{j}_\mu \cdot \vec{W}^\mu + \frac{g'}{2} j_\mu^Y B^\mu \right].$$

- Dentro desta estrutura teórica está contida toda a eletrodinâmica e as interações fracas.

Explicitando o produto:

$$\vec{j}_\mu \cdot \vec{W}^\mu = j_\mu^1 W^{\mu 1} + j_\mu^2 W^{\mu 2} + j_\mu^3 W^{\mu 3}, \quad \text{com } j_\mu^\pm = j_\mu^1 \pm i j_\mu^2,$$

ou:

$$\vec{j}_\mu \cdot \vec{W}^\mu = (j_\mu^+ W^{\mu +} + j_\mu^- W^{\mu -})/\sqrt{2} + j_\mu^3 W^{\mu 3}, \quad \text{com } W_\mu^\pm = (W_\mu^1 \mp i W_\mu^2)/\sqrt{2},$$

onde estas são as funções de onda que representam as partículas  $W^\pm$ .

# Unificação eletrofraca

- Acoplamento com os  $W^\pm$ :

P.ex., no processo:  $e^- \rightarrow \nu_e + W^-$ , temos  $j_\mu^- = \bar{\nu}_L \gamma_\mu e_L = \bar{\nu} \gamma_\mu [(1 - \gamma^5)/2] e$ , dando um termo:

$$-i \frac{g_w}{\sqrt{2}} j_\mu^- W^{\mu-} = -i \frac{g_w}{2\sqrt{2}} [\bar{\nu} \gamma_\mu (1 - \gamma^5) e] W^{\mu-}$$

e o fator de vértice é o mesmo de partida (eq. 10.5):

$$-i \frac{g_w}{2\sqrt{2}} \gamma_\mu (1 - \gamma^5).$$

- Entretanto, a simetria  $SU(2)_L \otimes U(1)$  é *quebrada* na teoria GWS: os 2 estados neutros,  $W^3$  e  $B$ , misturam-se, produzindo um estado sem massa ( $\gamma$ ) e um massivo ( $W^0$ ):

$$A_\mu = B_\mu \cos \theta_w + W_\mu^3 \sin \theta_w,$$

$$Z_\mu = -B_\mu \sin \theta_w + W_\mu^3 \cos \theta_w.$$

Em termos dos estados físicos, a parte neutra das interações eletrofracas é:

$$-i \left[ g_w j_\mu^3 W^{\mu 3} + \frac{g'}{2} j_\mu^Y B^\mu \right] = -i \left\{ \left[ g_w \sin \theta_w j_\mu^3 + \frac{g'}{2} \cos \theta_w j_\mu^Y \right] A^\mu + \left[ g_w \cos \theta_w j_\mu^3 - \frac{g'}{2} \sin \theta_w j_\mu^Y \right] Z^\mu \right\}$$

# Unificação eletrofraca

- Como o acoplamento eletromagnético é:

$$-ig_e j_\mu^{em} A^\mu$$

e estamos vendo que:  $j_\mu^{em} = j_\mu^3 + \frac{1}{2}j_\mu^Y$ , a consistência entre a QED e a teoria eletrofraca, requer que:

$$g_w \sin \theta_w = g' \cos \theta_w = g_e$$

e as constantes de acoplamento eletromagnética e fraca não são independentes.

- E para o acoplamento do  $Z^0$ :

$$-ig_z (j_\mu^3 - \sin^2 \theta_w j_\mu^{em}) Z^\mu, \quad \text{onde } g_z = \frac{g_e}{\sin \theta_w \cos \theta_w}.$$

P.ex., o processo  $\nu_e \rightarrow \nu_e + Z^0$  vem exclusivamente do termo  $j_\mu^3$ , assim:

$$-i \frac{g_z}{2} (\bar{\nu}_L \gamma_\mu \nu_L) Z^\mu = -\frac{ig_z}{2} \left[ \bar{\nu} \gamma_\mu \left( \frac{1 - \gamma^5}{2} \right) \nu \right] Z^\mu$$

e os acoplamentos vetorial e axial são  $c_V^\nu = c_A^\nu = \frac{1}{2}$  (probl. 10.26).

- As questões sobre o *por quê* de haver a quebra da simetria  $SU(2)_L \otimes U(1)$ , isto é:

$$B, W^3 \xrightarrow{?} \gamma, Z^0$$

e o *por quê* das massas dos mediadores fracos ( $W^\pm, Z^0$ ) serem tão grandes serão tratadas no último capítulo.